

## ② Système à 2 niveaux (Meca Q)

nombre quantique.

$\vec{L}$   
opérateur  
moment orbital

$$L_z = m_l \hbar$$

$$\|\vec{L}\|^2 = \hbar^2 l(l+1)$$

$$-l \leq m_l \leq l$$

mécanique quantique.

$\vec{\mu} = \gamma \vec{L}$  avec  $\gamma$  rapport gyromagnétique.

$$\gamma = -\frac{e}{2m_e}$$

↑ masse electron

donc  $\mu_z = -\frac{me\hbar^2 e}{2m_e} = -\mu_B m_l$

avec  $\mu_B = \frac{e\hbar}{2m_e}$  magnéton de Bohr

$\Rightarrow \mu_z = -\mu_B m_l$  est quantifié

$$\begin{cases} \mu_B = 9,27 \cdot 10^{-24} \text{ J} \cdot \text{T}^{-1} \\ \mu_B = 5,79 \cdot 10^{-5} \text{ eV} \cdot \text{T}^{-1} \end{cases}$$

$$\vec{J} = \vec{L} + \vec{S}$$

$$J_z = m_J \hbar$$

$$\|\vec{J}\|^2 = \hbar^2 J(J+1)$$

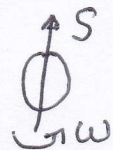
$$-J \leq m_J \leq J$$

les moments  
de Spin  
interviennent  
également  
dans le  
magnétisme.

$$\mu_z = -g \mu_B m_J$$

↑ facteur numérique.  
appelé facteur de Landé

2 contributions = une orbitale  
une liée au spin





## modèle à 2 niveaux

$$\mu_z = -g\mu_B m_z \text{ avec } m_z = \pm \frac{1}{2}$$

$$E = -\vec{\mu} \cdot \vec{B} = +g\mu_B m_z B$$

2 niveaux d'énergie par Atomes  
(Effet Zeeman)

$$Z = \left(\frac{1}{0}\right)^N$$

particules \*  
discernables

$z$  fonction de partition d'1 atome.

$$z = e^{\frac{g\mu_B B}{2k_B T}} + e^{-\frac{g\mu_B B}{2k_B T}} = 2 \cosh\left(\frac{g\mu_B B}{2k_B T}\right)$$

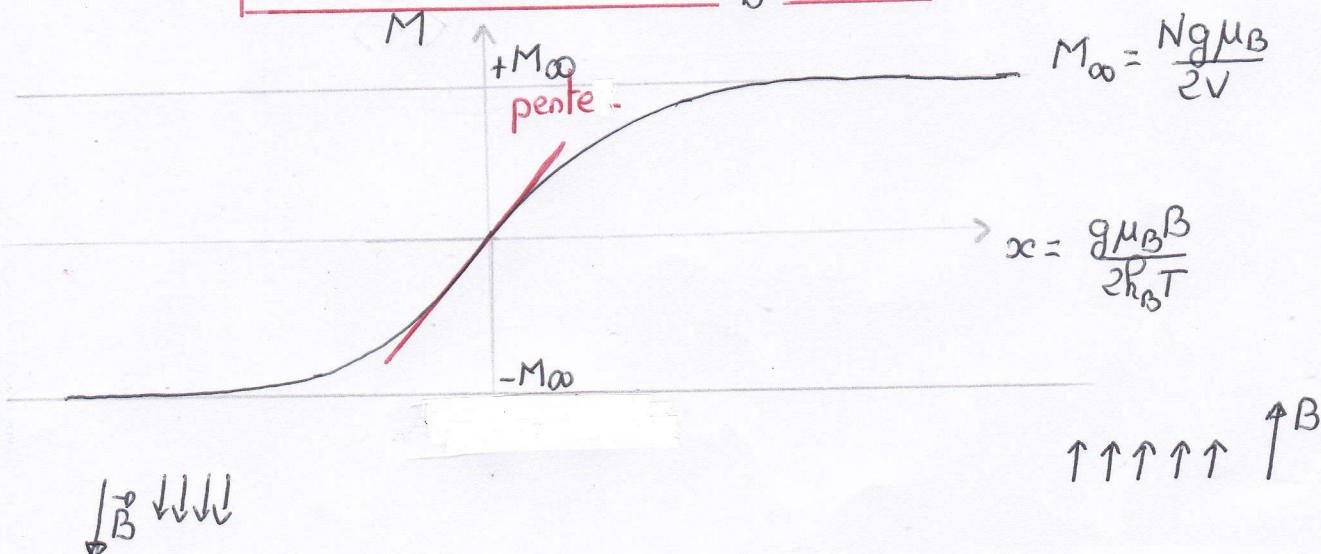
\* si indiscernable  
(cas du gaz) il y a  
1 prefacteur  $\frac{1}{N!}$

$$\begin{cases} p_+ = \frac{e^{-\frac{g\mu_B B}{2k_B T}}}{z} & \text{probabilité } m_z = +\frac{1}{2} \\ p_- = \frac{e^{+\frac{g\mu_B B}{2k_B T}}}{z} & \text{probabilité } m_z = -\frac{1}{2} \end{cases}$$

$$\langle \mu_z \rangle = -\underbrace{\frac{g\mu_B}{2}}_{\mu_z(+\frac{1}{2})} p_+ + \underbrace{\frac{g\mu_B}{2}}_{\mu_z(-\frac{1}{2})} p_- = \frac{g\mu_B}{2} \tanh\left[\frac{g\mu_B B}{2k_B T}\right]$$

les  $N$  atomes étant indépendants,  $\langle \vec{M} \rangle = \frac{N \langle \mu_z \rangle}{V} \vec{e}_z$

soit  $\boxed{\langle \vec{M} \rangle = \frac{Ng\mu_B}{2V} \tanh\left[\frac{g\mu_B B}{2k_B T}\right] \vec{e}_z}$



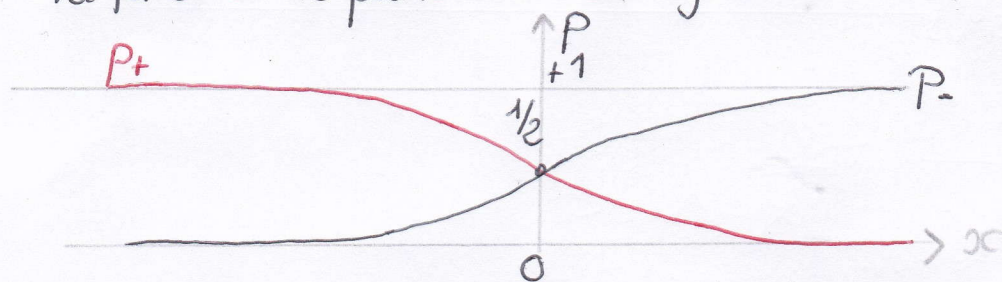


en champ faible  
à haute température }  $x \ll 1$   $\text{th } x \sim x$

$$M \approx \frac{Ng^2\mu_B^2}{4Vk_B T} B \quad \chi_m = \frac{Ng^2\mu_B^2}{4Vk_B T} \mu_0 \quad \text{on retrouve } \chi_m \approx \frac{C}{T}$$

car  $M = \chi_m \frac{B}{\mu_0}$  loi de Curie

Remarque = on peut aussi passer par  $F = -k_B T \ln Z$   
la fonction de partition du système.



à  $B=0$  il y a autant de spins up et down  
 $\uparrow \downarrow$



### ③ Généralisation système à $(2J+1)$ niveaux

$$\mu_z = -g\mu_B m_J \quad \text{avec} \quad -J \leq m_J \leq J$$

rappel  $\mu_B = \frac{e\hbar}{2m}$

$$m_J \quad \mu_z = -g\mu_B m_J \quad E = g\mu_B B m_J$$

$Z^{\text{para}} = (z^{\text{para}})^N$  atomes discernables  
indépendants pas d'interaction.

avec  $z^{\text{para}} = \sum_{m_J=-J}^J e^{-\frac{g\mu_B B}{k_B T} m_J} = \sum_{m_J=-J}^J e^{-m_J x} = e^{Jx} \left[ \sum_{m=0}^{2J} e^{-mx} \right]$

on pose  $x = \frac{g\mu_B B}{k_B T}$

$$F^{\text{para}} = -k_B T \ln Z^{\text{para}} = -N k_B T \ln z^{\text{para}}$$

$$z^{\text{para}} = e^{Jx} \frac{1 - e^{-(2J+1)x}}{1 - e^{-x}} = e^{Jx} \frac{e^{-\frac{2J+1}{2}x} \left[ e^{\frac{2J+1}{2}x} - e^{-\frac{2J+1}{2}x} \right]}{e^{-\frac{x}{2}} \left[ e^{+\frac{x}{2}} - e^{-\frac{x}{2}} \right]}$$

$$z^{\text{para}} = \frac{\sinh\left[\frac{2J+1}{2}x\right]}{\sinh\left(\frac{x}{2}\right)}$$

$$F^{\text{para}} = -N k_B T \ln z^{\text{para}} = -N k_B T \left[ \ln \left\{ \sinh\left[\frac{2J+1}{2}x\right] \right\} - \ln \left\{ \sinh\left(\frac{x}{2}\right) \right\} \right]$$

$$\langle \mu_z \rangle = \sum_{m_J=-J}^{+J} \underbrace{(-g\mu_B m_J)}_{\substack{\text{valeur du} \\ \text{moment} \\ \text{magnétique} \\ \text{associé à } m_J}} \underbrace{\frac{e^{-\frac{g\mu_B B m_J}{k_B T}}}{z^{\text{para}}}}_{\substack{\text{probabilité} \\ \text{d'avoir } m_J}} = \frac{1}{z^{\text{para}}} \sum_{m_J=-J}^{+J} (-g\mu_B m_J) e^{-\frac{g\mu_B B m_J}{k_B T}}$$



$$\langle \mu_z \rangle = \frac{1}{z^{\text{para}}} \sum_{m_J=-J}^{+J} (-g\mu_B m_J) e^{-\frac{g\mu_B B m_J}{k_B T}} = k_B T \frac{\frac{\partial z^{\text{para}}}{\partial B}}{z^{\text{para}}}$$

$$z^{\text{para}} = \sum_{m_J=-J}^{+J} e^{-\frac{g\mu_B B m_J}{k_B T}}$$

$\frac{\partial \ln z^{\text{para}}}{\partial B}$

donc  $\langle \mu_z \rangle = k_B T \frac{\partial \ln z^{\text{para}}}{\partial B}$

$$M = \frac{N}{V} \langle \mu_z \rangle = \frac{N k_B T}{V} \frac{\partial \ln z^{\text{para}}}{\partial B} = - \frac{k_B T}{V} \frac{\partial \ln z^{\text{para}}}{\partial B} = - \frac{1}{V} \frac{\partial F^{\text{para}}}{\partial B} \Big|_T$$

car les N atomes sont sans interaction.

$$M = - \frac{1}{V} \frac{\partial F^{\text{para}}}{\partial B} = - \frac{1}{V} \frac{\partial F^{\text{para}}}{\partial x} \cdot \frac{\partial x}{\partial B} = - \frac{g\mu_B}{V k_B T} \left( \frac{\partial F}{\partial x} \right)_T$$

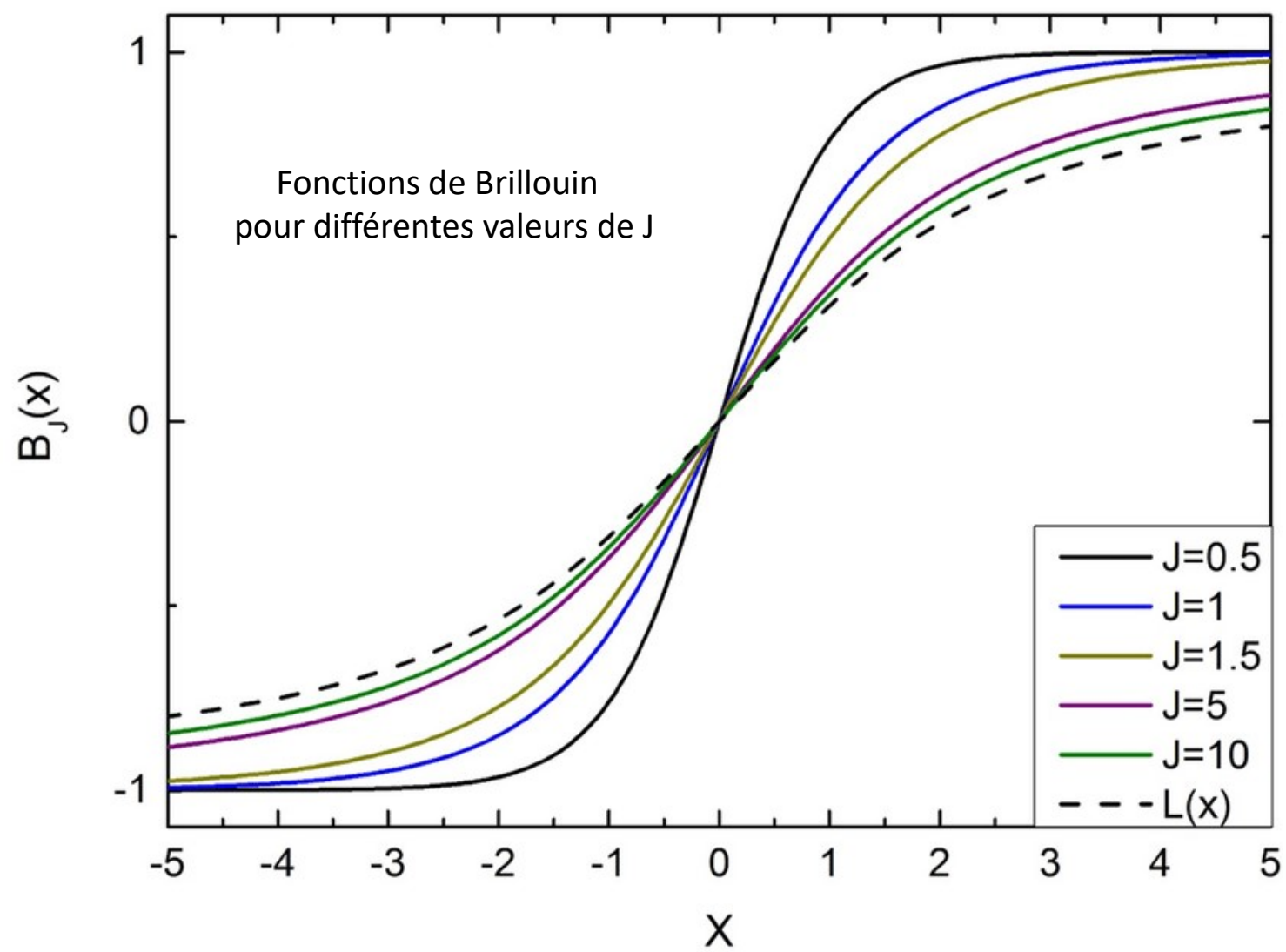
$$M = \frac{N g \mu_B J}{V} \left\{ \frac{(2J+1)}{2J} \coth\left(\frac{2J+1}{2} x\right) - \frac{1}{2J} \coth x \right\}$$

avec  $x = \frac{g\mu_B B}{k_B T}$   $B_J(x)$  fonction de Brillouin.

haute température }  $x \ll 1$   $\coth x \sim \frac{1}{x} + \frac{x}{3}$   
faible champ }

$$M \sim \frac{N g \mu_B}{V} J(J+1) \frac{x}{3} = \frac{N g^2 \mu_B^2}{3 k_B T V} J(J+1) B = \chi_M \frac{B}{\mu_0}$$

$$\chi_M = \frac{N g^2 \mu_B^2}{3 k_B T V} J(J+1) \mu_0 \quad \text{loi de Curie } \chi \sim \frac{C}{T}$$





#### ④ Ferromagnétisme.

paramagnétisme à 2 Niveaux

$$M = \frac{Ng\mu_B}{2V} \text{th} \left[ \frac{g\mu_B B}{2k_B T} \right] \quad (1)$$

théorie du champ moléculaire de Weiss. (1907)

$$\vec{B}_{loc} = \vec{B} + \lambda \vec{M} \quad (2)$$

les moments magnétiques ressentent l'influence d'un champ local

hypothèse = pas de fluctuations

en champ nul, (2) dans (1) conduit à =

$$M = \frac{Ng\mu_B}{2V} \text{th} \left[ \frac{\lambda g\mu_B M}{2k_B T} \right]$$

$M_\infty$   
aimantation  
de saturation.

$$M = M_\infty \text{th} \left[ \frac{M}{T} \frac{T_c}{M_\infty} \right]$$

$$\text{avec } T_c = \frac{\lambda g\mu_B M_\infty}{2k_B} = \frac{\lambda N g^2 \mu_B^2}{4k_B V}$$

Temperature critique.

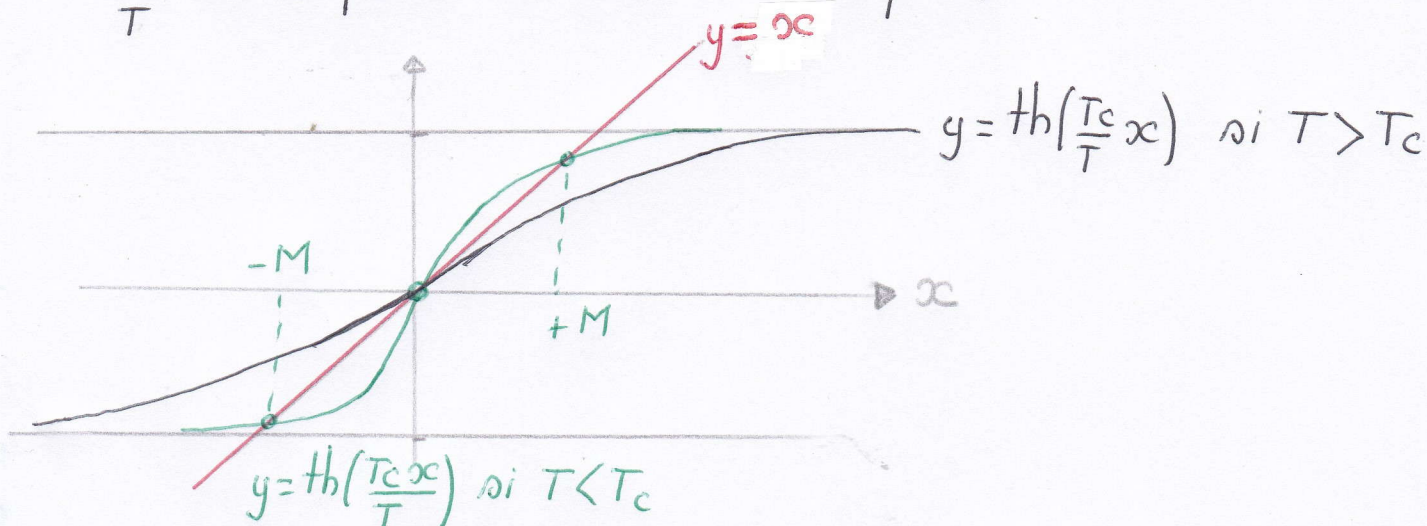
posons  $x = \frac{M}{M_\infty}$

$$x = \text{th} \left( \frac{T_c}{T} x \right) \quad \text{equation intrinsèque donnant } M \text{ en champ } B=0$$



en  $x \approx 0$   $\text{th}\left(\frac{T_c}{T} x\right) \sim \frac{T_c}{T} x$

$\frac{T_c}{T}$  est la pente en  $x=0$  de  $\text{th}\left(\frac{T_c}{T} x\right)$



pour résoudre graphiquement  $x = \text{th}\left(\frac{x T_c}{T}\right)$

on trace  $y = x$   $\mathcal{E}_p$  } et on regarde les points  
 $y = \text{th}\left(\frac{T_c}{T} x\right)$   $\mathcal{E}_g$  } d'intersection

$T < T_c$  3 solutions  $-M, 0$  et  $M \neq 0$

$T > T_c$  1 seule solution  $0$

En dessous de  $T_c$ ,  $\exists$  une aimantation non nulle  
 c'est le ferromagnétisme.

pour cela être en  $\varphi$  condensée  
 avoir à haute température  
 du paramagnétisme.

comment déterminer  $M$  à l'approche de  $T_c$ ?



$$\frac{M}{M_\infty} = \tanh\left[\frac{M}{M_\infty} \frac{T}{T_c}\right] \quad (1)$$

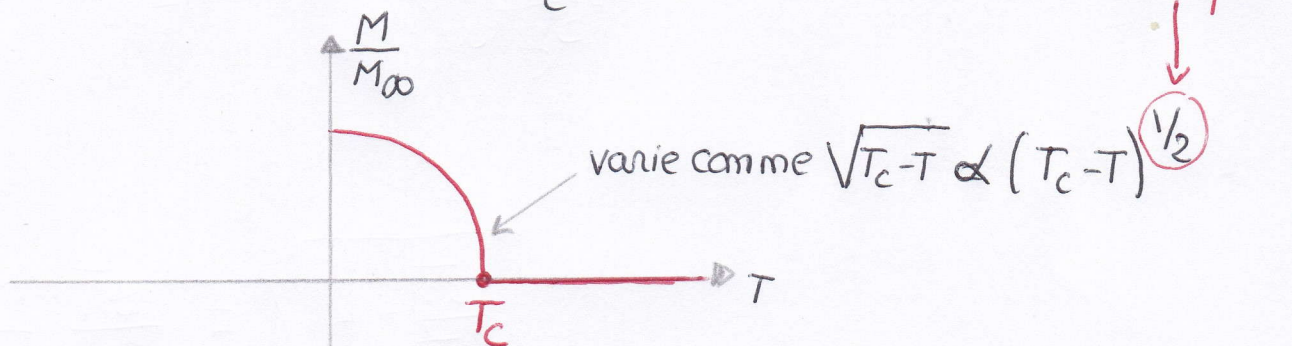
pour  $T \rightarrow T_c^-$   $M \rightarrow 0$   
 donc vers  $T_c^-$   $M$  est suffisamment faible  
 pour effectuer 1 DL de  $\tanh\left(\frac{MT}{M_\infty T_c}\right)$

$$\tanh x \sim x - \frac{x^3}{3}$$

d'après (1)  $\frac{M}{M_\infty} \approx \frac{M}{M_\infty} \frac{T}{T_c} - \left(\frac{MT}{M_\infty T_c}\right)^3$

$$1 \approx \frac{T}{T_c} \left[ 1 - \left(\frac{MT}{M_\infty T_c}\right)^2 \right]$$

$$\Rightarrow M = M_\infty \sqrt{3 \left( \frac{T_c - T}{T_c} \right)}$$



le ferromagnétisme est 1 transition de phase.  
 du second ordre.  $\chi$  change de manière  
 continue à  $T_c$ .